

# RHIC-PHENIX実験におけるシリコン崩壊点検出器を用いた方位角異方性の $\eta$ 依存性測定

中込宇宙 for the PHENIX collaboration  
筑波大学



RIKEN-CCJを使用

# 目次

## ●導入

方位角異方性  
動機

## ●シリコン崩壊点検出器(VTX)

## ●VTXを用いた $v_2$ 測定

- $v_2$  の  $p_t$  依存性
- $v_2$  の  $\eta$  依存性
- PHOBOS の  $v_2$  との比較

VTX Standalone track を使用

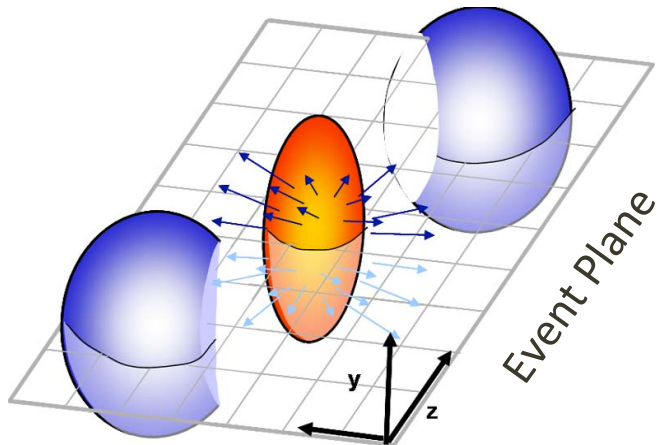
- non-flow 効果

VTX Cluster(hit 情報) を使用

## ●まとめと今後

# 方位角異方性

高エネルギー原子核・原子核衝突では、衝突関与部から生成される粒子は**集団的膨張運動(Flow)**をする。



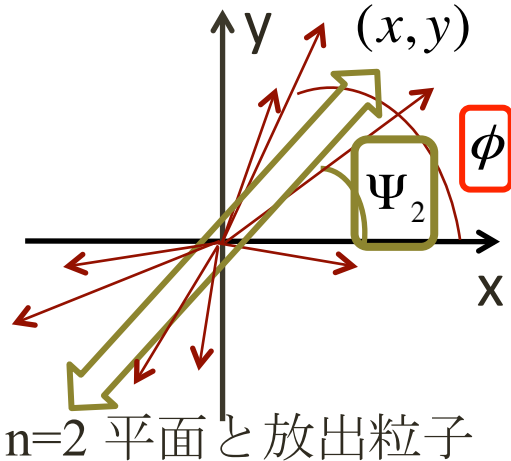
衝突関与部の初期の幾何学的な異方性



密度勾配

発生粒子分布は運動量空間で異方性を持ち検出される

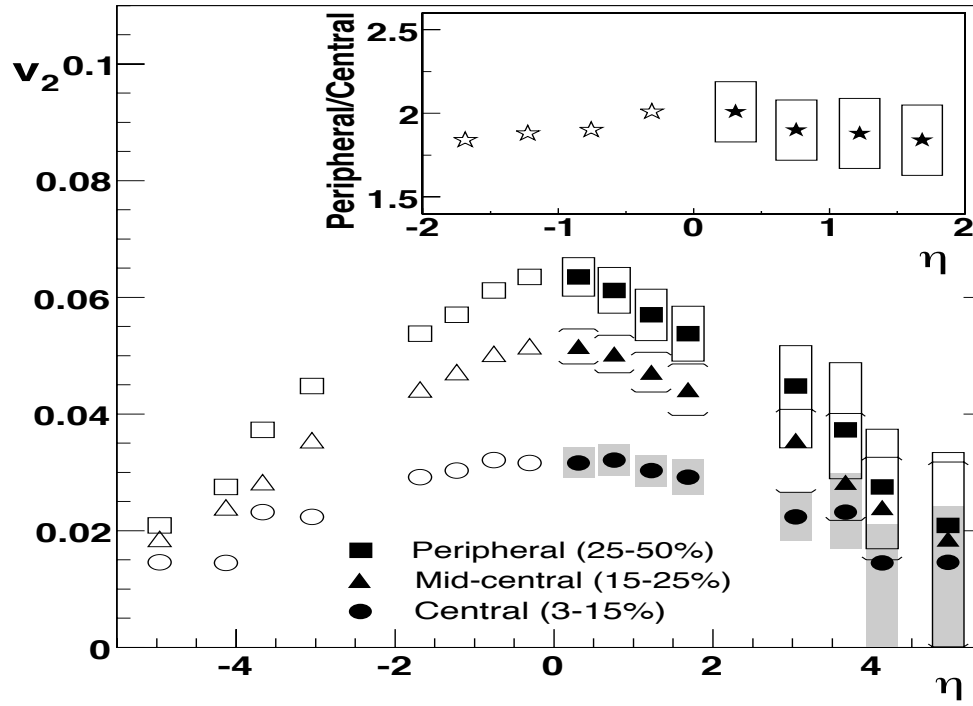
放出粒子分布を反応平面を基準にフーリエ級数展開する



$$\frac{dN}{d\phi} = N_0 (1 + \sum 2v_n \cos(n(\phi - \Psi_n)))$$

$$v_n = <\cos(n(\phi - \Psi_n))> \text{ (異方性)}$$

# 動機



PHOBOS実験で測定された $v_2$ の $\eta$ 依存性

Phys. Rev. C72, 051901(R) (2005)

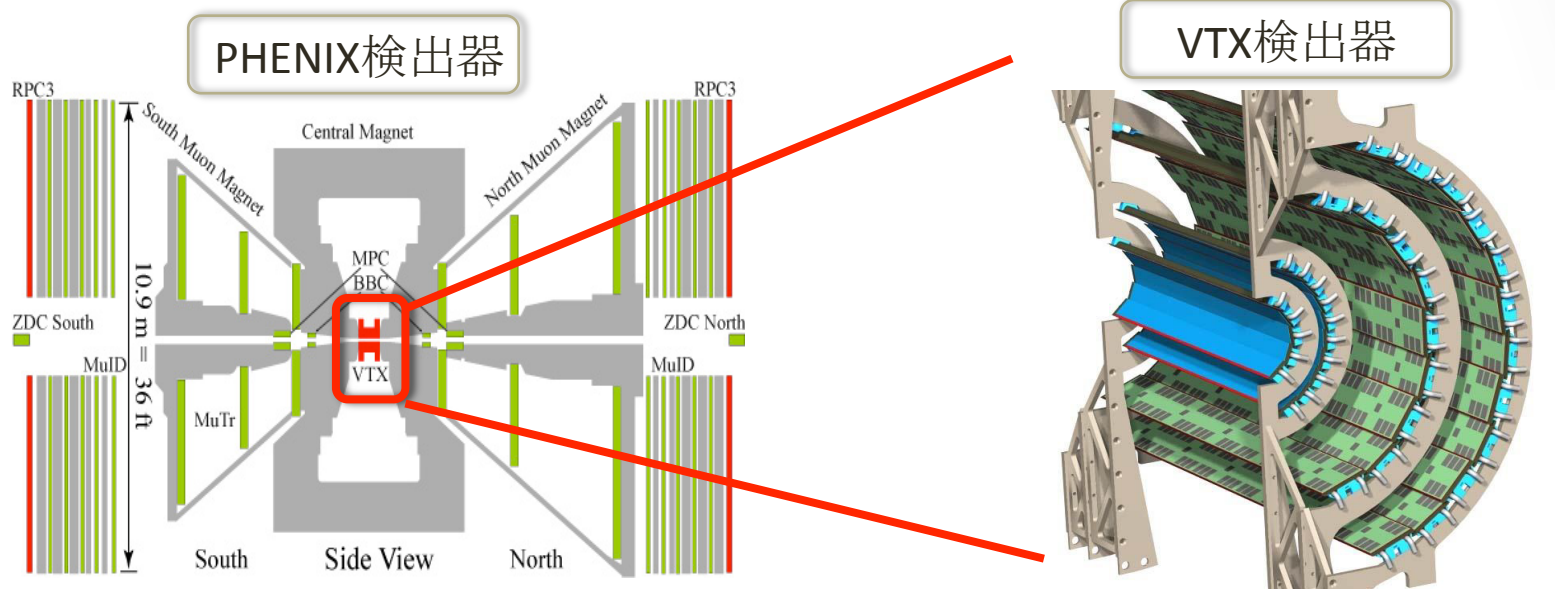
Peripheral/Mid-centralでは三角形の形をしている

PHENIX実験でもVTXの導入により、広いラピディティー領域を連続的に覆う事が可能。



PHENIX実験での $v_2$ の $\eta$ 依存性はどうなるか？

# シリコン崩壊点検出器(VTX)



- 4層構造(内側2層:ピクセル型、外側2層:ストリップ型)
- $\Delta\phi \sim 2\pi$
- $|\eta| < 1.2$
- 飛跡再構成(Standalone Tracking)が可能

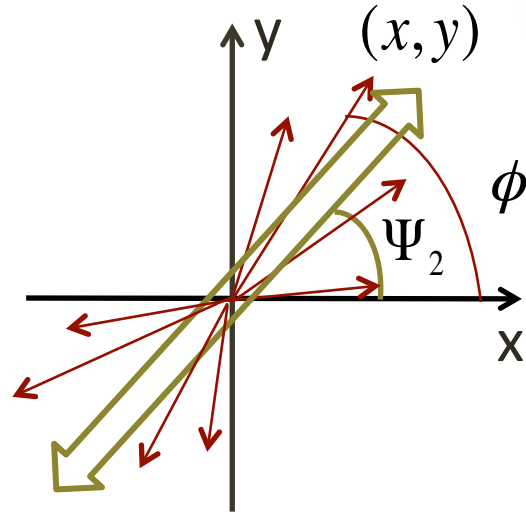
# Event Plane法

$$v_2 = \frac{<\cos 2(\phi - \Psi_2^{ob})>}{\sigma}$$

$$\sigma = <\cos 2(\Psi_2^{ob} - \Psi_2^{tr})>$$

$\Psi_2^{ob}$  : Event Plane(粒子が多く放出された角度)

$\phi$  : 放出粒子の方位角



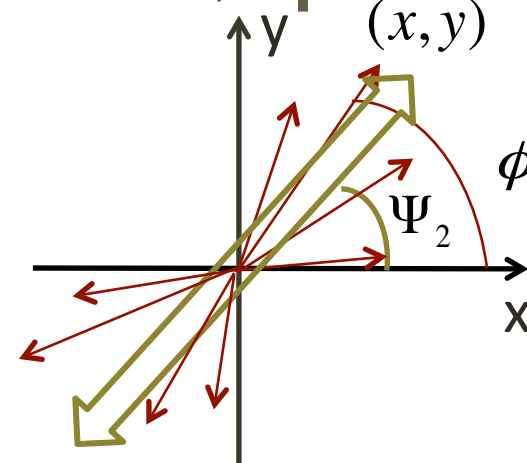
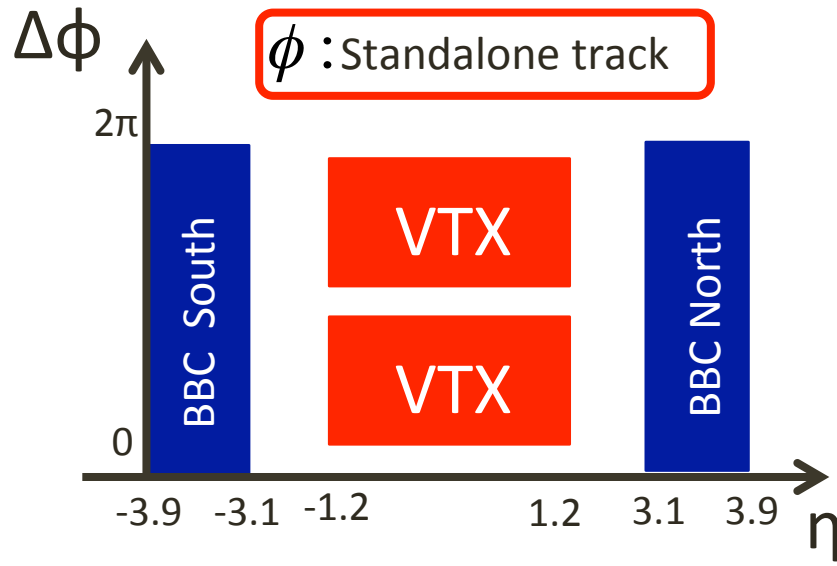
Event Plane と 放出粒子

# Event Plane法(EP:BBC, $\phi$ :VTX)

$$v_2 = \frac{<\cos 2(\phi - \Psi_2^{ob})>}{\sigma}$$

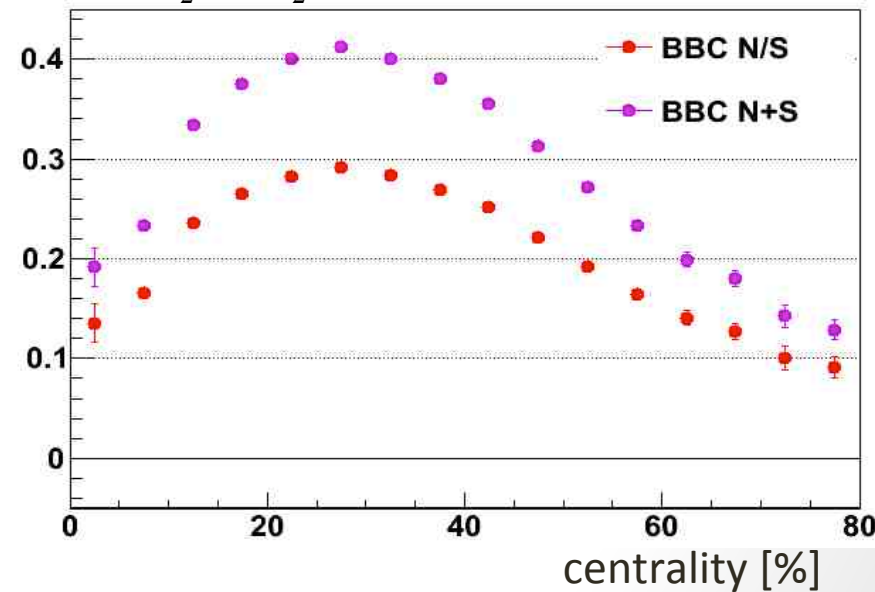
$$\sigma = <\cos 2(\Psi_2^{ob} - \Psi_2^{tr})>$$

$\Psi_2^{ob}$  : BBC South  
BBC North  
BBC South + North

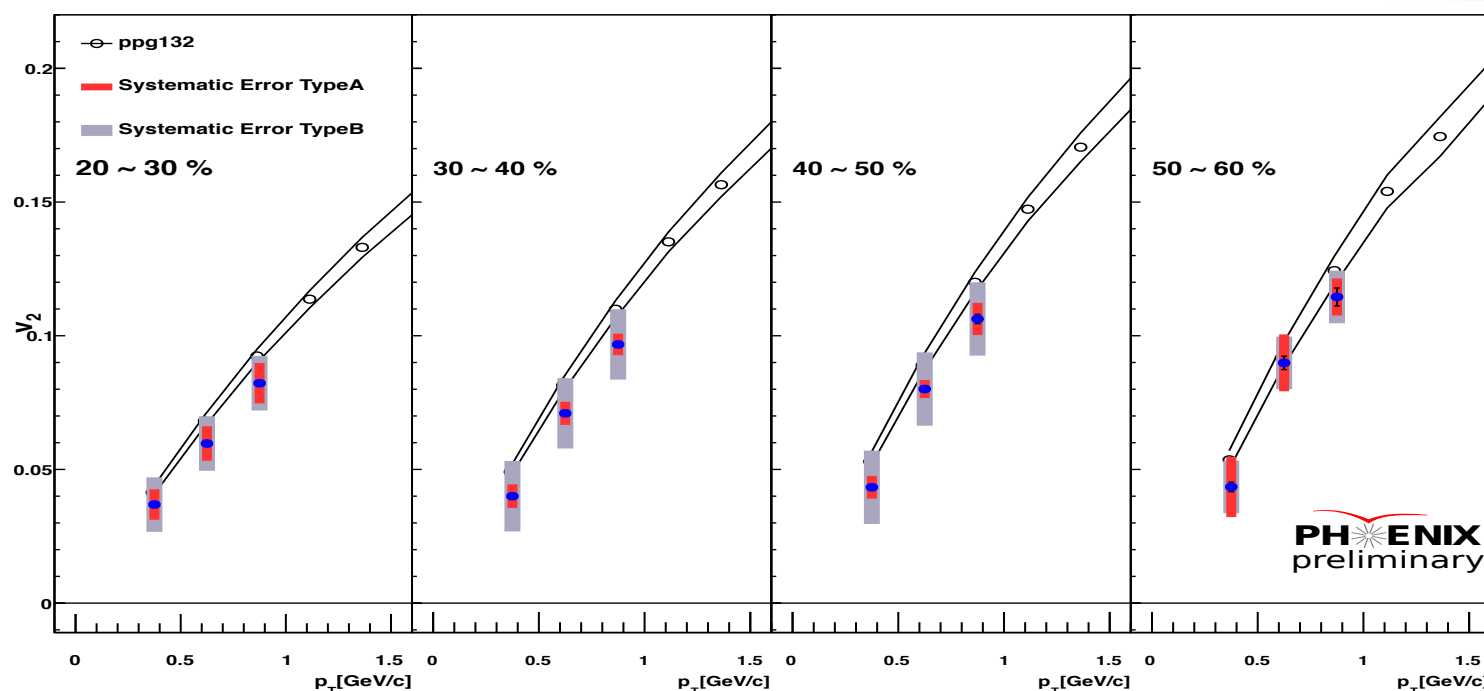


Event Plane と 放出粒子

$$<\cos 2(\Psi_2^{ob} - \Psi_2^{tr})>$$

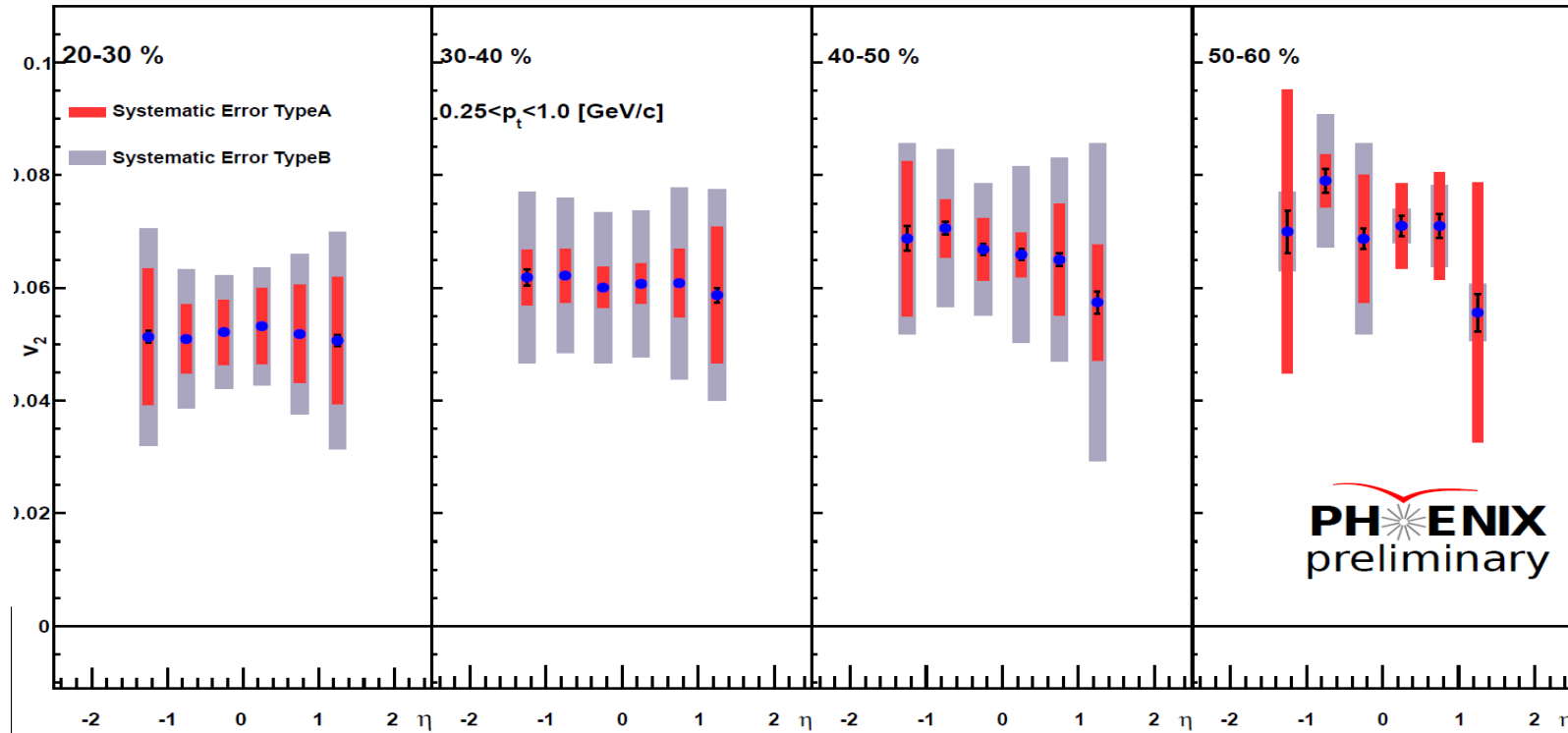


# $v_2$ : $p_t$ 依存性



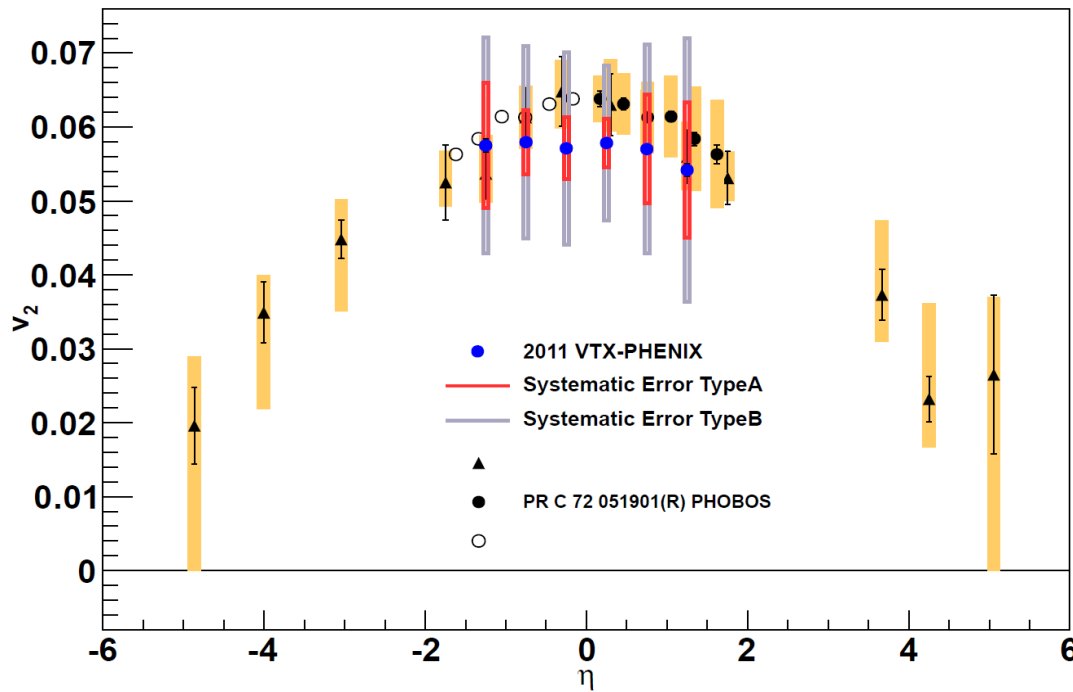
- PRL107.252301 (2007)でCNT trackを使用して測定された $v_2$ と  
VTX Standalone trackを使用して測定した $v_2$ で比較。  
-Standalone track では $0.25 < p_T < 1$  [GeV/c] を使用  
-Systematic Error  
Type A: track cut と 3 パターンの RP(BBC N/S/NS) + sin 項  
Type B: 1 [GeV/c] での PRL107.252301 (2007)との差

# $v_2$ : $\eta$ 依存性



- $v_2$  の  $\eta$  依存性を測定した
  - $0.25 < p_t < 1 \text{ [GeV/c]}$
  - centrality 20-60%までを 10% ステップ<sup>◦</sup>

# $v_2$ :PHOBOSの $v_2$ と比較



## □PHOBOSの $v_2$ と比較

- PHOBOS : centrality 25-60%,  $p_t > 0$  [GeV/c]
- PHENIX (本解析) : centrality 20-60%,  $0.25 < p_t < 1$  [GeV/c]

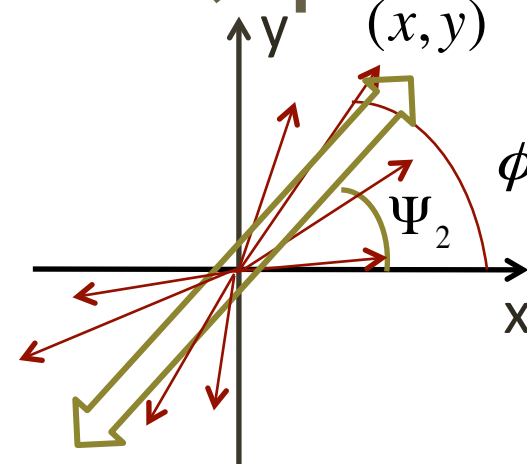
# Event Plane法(EP:VTX, $\phi$ :VTX)

$$v_2 = \frac{<\cos 2(\phi - \Psi_2^{ob})>}{\sigma}$$

$$\sigma = <\cos 2(\Psi_2^{ob} - \Psi_2^{tr})>$$

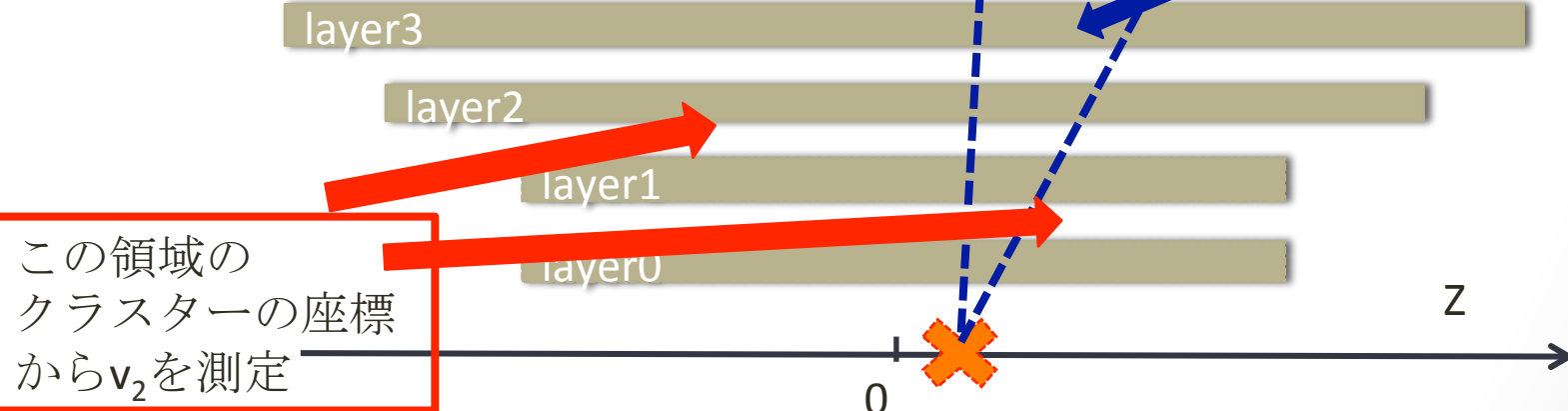
$\Psi_2^{ob}$  : VTX 0.5 $\eta$  スライス

$\phi$  : VTX cluster(荷電粒子のhit情報)

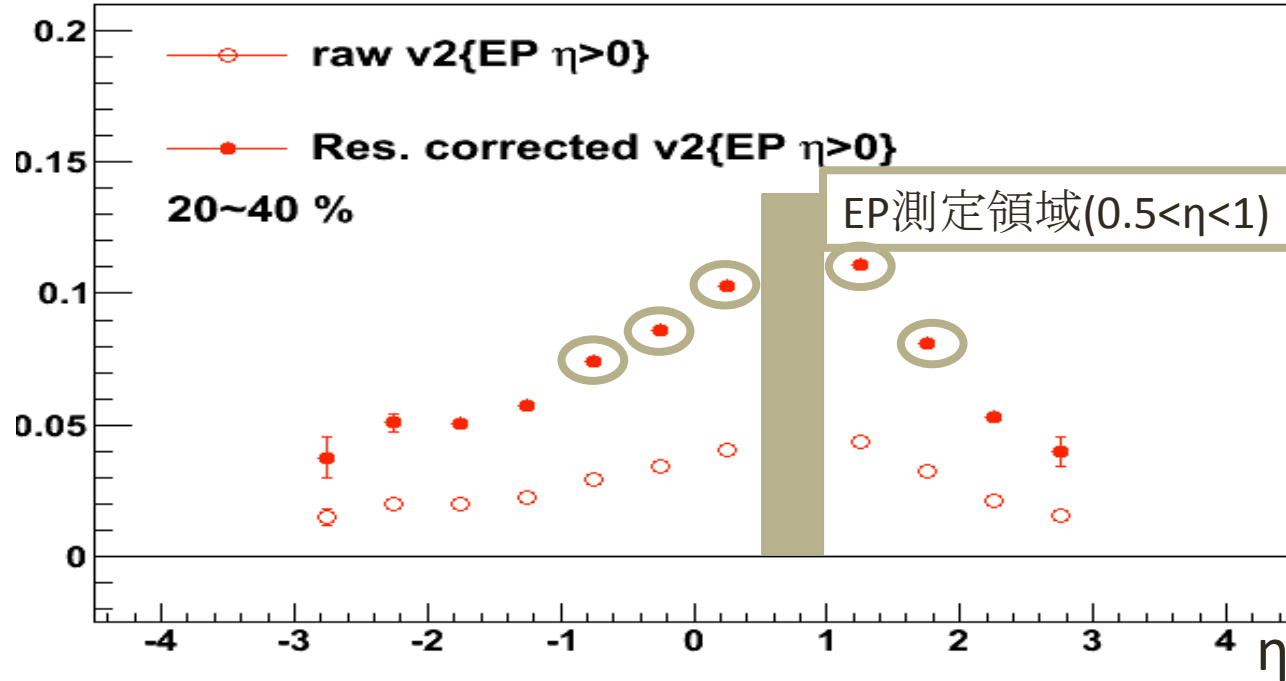


Event Plane と 放出粒子

この領域でEPを測定

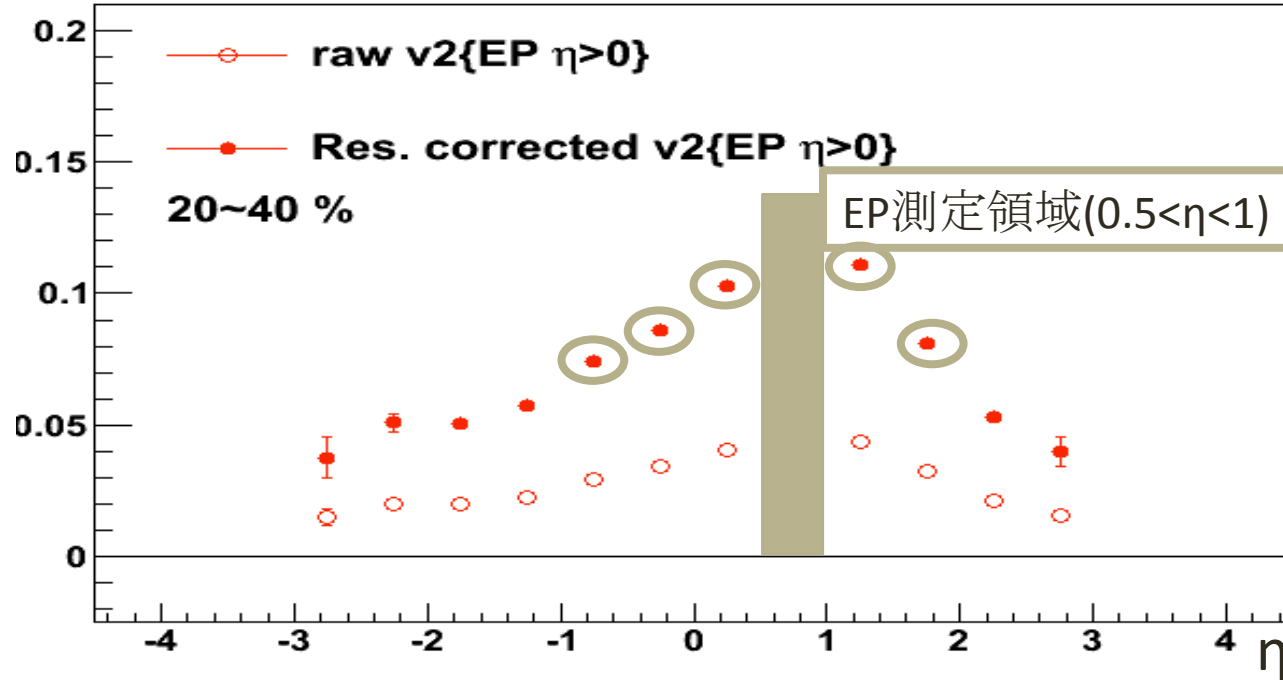


# $v_2$ :non flow効果1



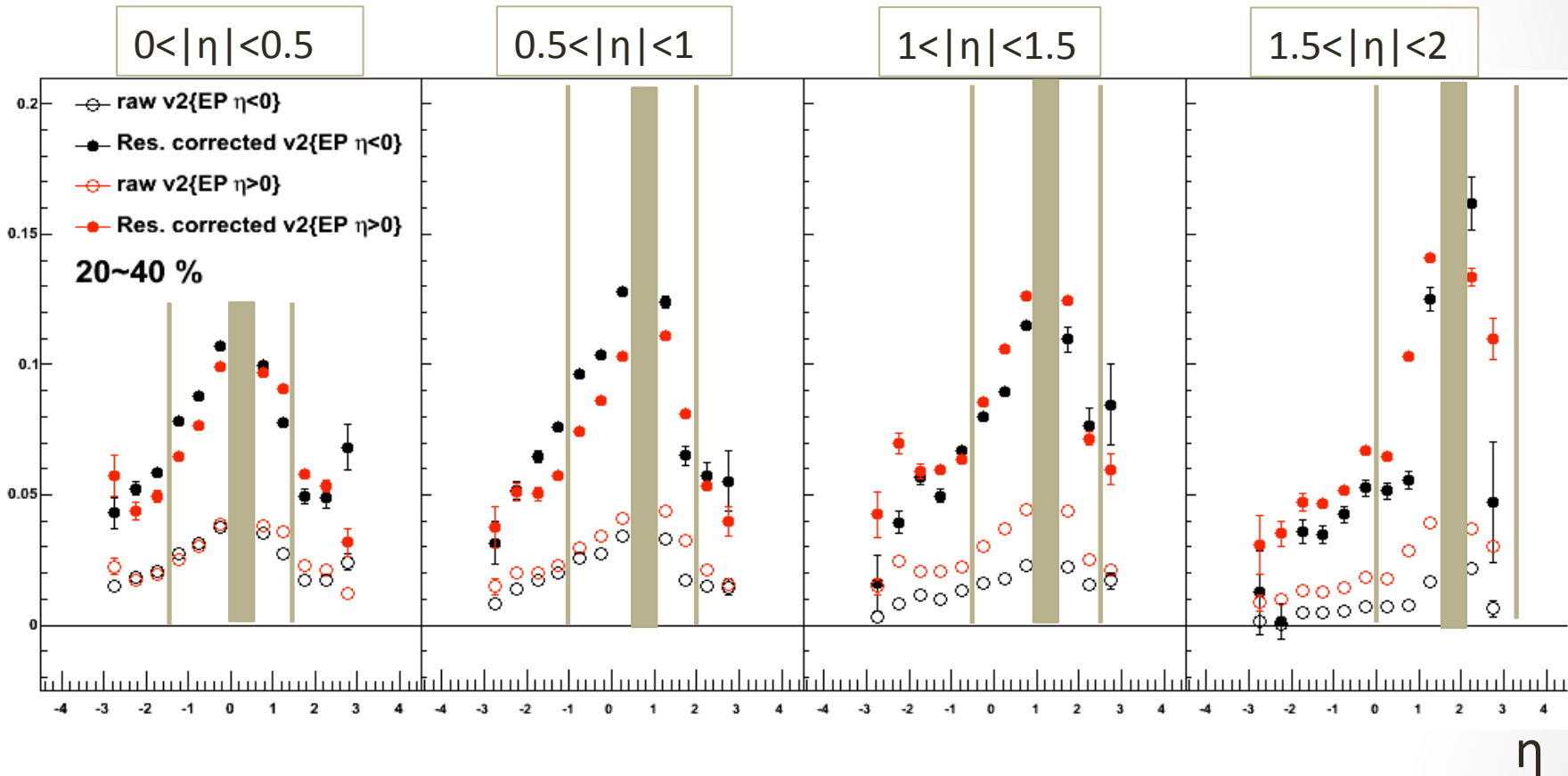
- クラスター(荷電粒子のhit情報)を用いて測定した $v_2$ 
  - BGや $p_t$ を選んでいないパフォーマンスプロット
- EPの測定領域の前後両サイドが盛り上がっている
  - non flow効果(flow以外の寄与で $v_2$ の値が大きくなる)  
→Event Plane法では $\Delta\eta=1.5$ 程度空ける必要がある

# $v_2$ :non flow効果1



- クラスター(荷電粒子のhit情報)を用いて測定した $v_2$ 
    - BGや $p_t$ を選んでいないパフォーマンスプロット
  - EPの測定領域の前後両サイドが盛り上がっている
    - non flow効果(flow以外の寄与で $v_2$ の値が大きくなる)
    - EP測定領域の両サイドで盛り上がり方が違う
- Mid-rapidity側: $\Delta\eta=1.5$ , Forward rapidity側: $\Delta\eta=1$

# $v_2$ :non flow効果2



- 他のrapidity領域で測定したEPを使用して測定した $v_2$   
-EPを測定した領域の前後の幅が違う

# まとめ

- VTXのStandalone trackを用いて $v_2$ の測定が可能である事を確認( $p_t < 1 [\text{GeV}/c]$ )
  - 他の解析にも Standalone trackは使用可能
- $v_2$ の $\eta$ 依存性を測定
  - Systematic Errorが大きく分布の議論は難しい
- Non-flow効果がEPを測定した前後の $\eta$ 領域で違う

# 今後

- VTXのStand alone trackを用いて $v_3$ の解析を行う